

د خسardehای مرز سازندهای پابده و آسماری در برش کوه آسماری: گواهی بر ناپیوستگی مرز روپلین-شاتین در ایران

هادی امین‌رسولی^۱، یعقوب لاسمی^۲، مصطفی قماشی^۳، شرمن ظاهروی^۴

^۱ گروه علوم‌زمین، دانشگاه کردستان، سنندج، ایران

^۲ سازمان زمین‌شناسی ایالت ایلی‌نوی، دانشگاه ایلی‌نوی، امریکا

^۳ گروه زمین‌شناسی، دانشگاه سیستان و بلوچستان، زاهدان، ایران

^۴ آموزش و پژوهش سنندج، سنندج، ایران

تاریخ پذیرش: ۱۳۸۹/۰۷/۰۶

تاریخ دریافت: ۱۳۸۸/۰۳/۲۷

چکیده

در برش کوه آسماری، نهشته‌های بالایی سازند پابده دربردارنده رخساره‌های میکروبی (توفا و استروماتولیت) وابسته به محیط‌های دریاچه‌ای است. مرز بالایی نهشته‌های یاد شده ناپیوسته است و با افقی از خاک قدیمی مشخص شده است. بر روی این افق، ایندیریت پایه و نهشته‌های ژرف زون تدریجی سازندهای پابده و آسماری جای دارند. همارز زون تدریجی، نهشته‌های بخش پایینی سازند آسماری در برش‌های کوه میش، شاهزاده عبدالله، تنگ سرخ و رگ سفید و چاه‌های گچساران ۳۱ و آغارجری ۶۱ هستند که بر روی مرز ناپیوسته یا پیوستگی همارز جای دارند. بنابراین، ایندیریت پایه و نهشته‌های زون تدریجی، به سازند آسماری وابسته هستند. تغییرات بارز رخساره‌ها در نزدیک مرز سازندهای آسماری-پابده به رخداد بارگذاری راندگی، تغییرات آب و هوا و نوسانات سطح نسبی دریاها در مرز روپلین-شاتین وابسته است.

کلید واژه‌ها: سازند پابده، سازند آسماری، برش کوه آسماری، روپلین، شاتین

نویسنده مسئول: هادی امین‌رسولی

E-mail: h.aminrasouli@uok.ac.ir

-۱- مقدمه

(در ناحیه دهدز)، آرام (۱۳۸۳ در میدان رامین)، امیدپور Seyrafian (2000) (در ناحیه دهدز)، آرام (۱۳۸۳ در میدان کوپال)، Vaziri-Moghaddam et al. (2005) (در ناحیه لالی) و Amirshahkarami et al. (2007) (در ناحیه چمن بلبل) مرز سازندهای پابده و آسماری را، نیز، پیوسته بیان داشته‌اند. در عراق این لایه‌ها در سازند سری کاگنی (معادل سازند پابده) رده‌بندی شده‌اند (برای نمونه، مطیعی، ۱۳۷۲). هدف عملده این نوشتة شرح رخساره‌ها در نزدیک مرز سازندهای پابده و آسماری، عامل مهم تغییرات آنها، وابستگی ایندیریت پایه به سازندهای پابده و آسماری و سن مرز آنها در برش الگو است.

برای انجام این هدف، رخساره‌های بخش بالایی سازند پابده (شکل ۱- ج تا و) و بخش پایینی سازند آسماری در برش کوه آسماری (شکل ۱- و) بررسی و با نهشته‌های همارز در بخش مهمی از زاگرس، ایران مرکزی و جهان مقایسه شده‌اند.

۲- روش بررسی

شناسایی رخساره‌های سازندهای پابده و آسماری، در نزدیک مرز آنها، بر اساس بررسی‌های صحراوی و آزمایشگاهی است. برای این کار بیش از ۱۰۰ نمونه برپایه تغییرات رخساره‌ای برداشت شد. نامگذاری سنگ‌های کربناتی به روش Dunham (1962) و تعیین محیط‌های رسوبی آنها بر اساس قانون والتر (Middleton, 1973) و مقایسه با محیط‌های امروزی و قدیمی (Flugel, 2004) انجام شده است. بررسی نهشته‌های تبخیری و ارائه مدل رسوبی آنها، نیز برپایه Kendall (1992) است.

۳- رخساره‌های بخش بالایی سازند پابده

بخش بالایی سازند پابده در کوه آسماری دربردارنده نهشته‌های شیل/مارن، آهک‌های پلاژیک و دوباره نهشته‌شده و سنگ‌های دولومیتی است (شکل ۱- ج تا و). این نهشته‌ها دربردارنده رخساره‌های زیر است:

۱-۱. رخساره شیل/مارن: رخساره شیل/مارن نهشته‌های لامینه‌ای و تیره رنگ غنی

سنگ‌های سازندهای پابده و آسماری (James & Wynd, 1965) در حوضه پیش‌خشکی جلوی کمریند کوه‌زایی زاگرس (Alavi, 2004) نهشته شده‌اند. سازند پابده (پالتوسن تا الیگوسن بالایی) (Wynd, 1965) دربردارنده شیل‌های ارغوانی (بخش پایینی) و آهک‌های چرتی (بخش بالایی) است. این سازند در برش الگو (شمال میدان نفتی لالی در مسجد سلیمان) نزدیک ۸۰۰ متر سمترا دارد (James & Wynd, 1965) و با مرز ناپیوسته سازند گورپی را می‌پوشاند (نجفی، ۱۳۷۷).

برش الگوی سازند آسماری در تنگ گل ترش کوه آسماری (Richardson, 1924) است (شکل ۱- الف) و دربردارنده سنگ‌های کربناتی، به طور عمده، مارن/شیل، ایندیریت و ماسه‌سنگ است و با مرز ناپیوسته در زیر سازند گچساران جای دارد (شکل ۱- ب). این سازند دربردارنده بخش‌های آسماری زیرین (الیگوسن)، میانی (اکیتانی) و بالایی (بوردیگالین) است (Thomas, 1950; Adams & Bourgeois, 1967). بخش آسماری زیرین در برش الگو/کوه آسماری وجود ندارد و همارز آن زون تدریجی است (مطیعی، ۱۳۷۲). زون تدریجی بر روی افق ایندیریت پایه جای دارد و دربردارنده شیل/مارن‌های ژرف است.

پژوهشگران در مورد سن دقیق ایندیریت پایه و نهشته‌های روی آن، وابستگی آن به سازندهای پابده و آسماری اتفاق نظر ندارند (James & Wynd (1965) سن این لایه‌ها را الیگوسن و آنها را درون سازند پابده جای دادند (شکل ۱- ب). به باور (Lees و Adams (1969) ایندیریت پایه و نهشته‌های تدریجی روی آن بخشی از سازند آسماری هستند. Stoneley (1975) با نگرشی متفاوت بیان داشت که هر جا ایندیریت قاعده آسماری وجود دارد، زون تدریجی درون سازند آسماری رده‌بندی شده و زمانی که ایندیریت پایه آسماری وجود ندارد می‌توان بدون توجه به فسیلهای آنها را در سازند پابده رده‌بندی کرد. مطیعی (۱۳۷۲) و آقاباتی (۱۳۸۳) مرز سازندهای پابده و آسماری را پیوسته و ایندیریت پایه را معادل لایه‌های بالایی بخش کلهر به سن اکیتانی پسین بیان داشته‌اند. همچنین

گچساران)، میکروکودیم‌های نابر جا ناشی از فرسایش بخش‌های خارج از آب سکو (Donaldson et al., 1999)، شاهزاده عبدالله (Donaldson et al., 1999) ۲۰ کیلومتری جنوب یاسوج (نهشته‌های کربناتی ماسه‌ای، تنگ سرخ ۲۰ کیلومتری جنوب خاور برش شاهزاده عبدالله) (امین‌رسولی، ۱۳۸۶) و رگ سفید (Riley, 1977) نهشته‌های ماسه‌سنگی سرآغاز سازند آسماری، در چاه گچساران ۳۱ رخساره شیل آهکی سوزن اسفنج دار ناشی از فرونشست ناگهانی و غرق شدن سکو و در چاه ۶۱ آغارجاری ماسه‌سنگ‌های سبیر کنانی هستند، که بر روی مرز ناپیوسته پایه، نیز در هنگام پیشروی بیشتر سطح دریا و در بر روی سطح پیشروی (ts) ساخته شده‌اند.

۶- بحث

بررسی نهشته‌های بخش بالایی سازند پابده، در کوه آسماری، نشان‌دهنده تغییر ناگهانی رخساره‌ها از نهشته‌های پلاژیک به قاره‌ای است. این تغییر ناشی از سازوکارهای زمین‌ساختی/بارگذاری راندگی، شرایط آب و هوایی و تغییرات جهانی سطح آب‌هاست (امین‌رسولی و لاسمی، ۱۳۸۷). بارگذاری راندگی منجر به پدیدارشدن شکست ناگهانی شب حوضه شده و از پیشروی بخش‌های کم زرف بر روی بخش‌های ژرف جلوگیری کرده است (Emery & Mayers, 1996). شکست ناگهانی شب را پشتۀ‌های زیر دریایی/ فرازمین‌ها می‌سازند. آنها به صورت سدی حوضه‌های کوچک را از حوضه‌های اصلی جدا کرده‌اند. پس از آن پایین افتادن بسیار زیاد سطح نسبی دریا، ناشی از تغییرات جهانی سطح دریاها، منجر به پدیدارشدن رخساره‌های میکروبی توفا و استروماتولیت وابسته به دریاچه و افق خروج از آب/خاک، پس از خشک شدن دریاچه، شده است. تغییرهای یادشده در مرز توالی رده دوم (Lasemi et al., 2003) پدید می‌آیند و با توجه به سن نهشته‌های موربد برسی (الیکو-میوسن) و ویژگی آنها به گمان قوی، با افت عمدۀ سطح دریاها در روپلین پسین (Golonka & Kiessling, 2002) (شکل ۵-الف) همزمان بوده است. پویایی زمین‌ساختی و پایین افتادن سطح دریاها در این زمان در ایران (ласمی و امین‌رسولی، ۱۳۸۲)، عمان (Nolan et al., 1990)، عربستان، کویت، قطر و جنوب عراق (Jones & Racey, 1994)، ایتالیا، نیو جرسی امریکا و برزیل (Rouchy & Saint-Martin, 1992) به پدید آوردن مرز توالی مهم (Tucker, 1993) منجر شده است.

پس از آن پیشروی دریا در بالای مرز ناپیوسته روپلین-شاتین به ساخته‌شدن محیط محدود/دریاچه بر روی افق قرمز رنگ و پدید آمدن انیدریت پایه منجر شده است. نفوذ آب از سنگ‌های جداکننده به داخل دریاچه پشت آن و حرکت شورابه به سوی پایین و دریا به دولومیتی شدن رخساره توفا/استروماتولیت در بخش بالایی سازند پابده منجر شده است.

بودن زیانه‌ای از واحد تبخری کلهر در سوی ساحل با نهشته‌های ماسه‌سنگ اهواز (زاهدی نژاد، ۱۳۶۶) و در سوی دریا با نهشته‌های ژرف واحد تدریجی برش الگو نشان‌دهنده ساخته‌شدن آنها در حوضه درون سکویی (e.g. Read, 1985) است. لایه‌های انیدریت به طور معمول در حوضه‌های درون سکویی در هنگام پایین‌بودن سطح دریا (Burchette & Wright, 1992) و در شرایط گرم و خشک ساخته می‌شوند. بالا آمدن بیشتر سطح دریا و به وجود آمدن ارتباط دوباره خوب آن با آب‌های دریایی باز، به پدید آمدن رخساره‌های ژرف تیره‌رنگ غنی از مواد آلی (Murris, 1981; Droste, 1990; Conalongo & Posini, 1997) (e.g. Adams & Bourgeois, 1967) رخساره‌های ژرف سازند پابده منجر شده است. حوضه‌های درون شلفی همراه با میدانهای هیدروکربنی بزرگ هستند (Read, 1985).

پایه/عضو کلهر را اکتائین پیشین/میوسن پیشنهاد کرده‌اند (شکل ۵-ب). بودن

از مواد آلی هستند که آهک‌های پلاژیک و دوباره نهشته‌شده نازک تا متوسط لایه را در بر گرفته‌اند. سبیرای نهشته‌های رخساره شیل/مارن به سوی بالا کاهش می‌یابد (شکل ۱-ج و د). این رخساره بر اساس جایگاه چینه‌ای آن نهشته‌های حوضه‌به بخش دور شیب (Blomeier & Reijmer, 2002) هستند. تنگ تیره و فراوانی مواد آلی آنها نیز نشان می‌دهد که این رخساره در شرایط کمبود اکسیژن (Droste, 1990) ساخته شده است.

۳-۲. رخساره گل‌سنگ تا پکستون با فسیل پلاتکتون دار: آهک‌های پلاژیک در بردارنده رخساره گل‌سنگ تا پکستون با دوکه‌ای و روزن‌داران پلاتکتونی و بلت است. آهک‌ها دارای آشفتگی زیستی، دانه‌های فسفات و گلوکونیت هستند (شکل ۲-الف و ب). بر اساس ویژگی‌های یادشده این رخساره در بخش دور شیب، در بالای ژرفای موازن کربناتی (CCD) (Geel, 2000)، و در هنگام پایین‌بودن آهنگ رسوب‌گذاری (Wright & Tucker, 1990) ساخته شده است.

۳-۳. رخساره آهک‌های دوباره نهشته شده: این نهشته‌ها، توالی‌های رو به بالا ریز شونده و نازک با مرز زیرین ناگهانی هستند. رخساره یادشده در بردارنده آمیخته‌ای از روزن‌داران پلاتکتونی، میلولید، پلسمی‌ید، دیتروپا، سرپولید، بلت، درون آوار (اینترالکلس) و دانه‌های فسفات و گلوکونیت است (شکل ۲-ج و د). چرخه‌های شیل/مارن و آهک‌های دوباره نهشته شده، گویای تکرار فرسایش و دوباره نهشته شدن آهک‌ها در هنگام رسوب گذاری هستند که در مرحله بالاترین فراز سطح دریا نهشته شده، نشان‌دهنده دوری از سکوی کربناتی است.

۳-۴. رخساره میکروبی توفا و استروماتولیت: در برش کوه آسماری بر روی نهشته‌های بخش ژرف، به طور ناگهانی سنگ‌های دolumیتی در بردارنده رخساره میکروبی توفا و استروماتولیت جای دارد (شکل ۳-الف). توفاها به صورت لامینه‌های تیره و روشن، پهن و موجی و لوله‌های باریک توالی و تپیر هستند (شکل ۳-ب تا د). استروماتولیت‌ها، نیز، به گونه لامینه‌های تیره و روشن، مسطح تا موجی در بردارنده فابریک‌های تخلخل چشم پرندۀ‌ای (فنترال)، ترک گلی، قالب تبخیری و ساختاری تپی هستند (شکل ۳-ه-و). نهشته‌های یادشده را افق خاک قرمز قدیمی چرت دار پوشانده است (شکل ۳-ز-ح).

شرایط ایده‌آل برای ساخته شدن توفاها، آب و هوای خنک است (Dipova & Doyuran, 2006) و در نواحی که زیاد در معرض آب دریا نیستند، به وجود می‌آیند (Tucker & Wright, 1990). وجود استروماتولیت با رخساره توفا گواه ساخته شدن آن در آب‌های دریاچه‌ای لب‌شور تا شور است. این نهشته‌ها با توفاهای قدیمی و امروزی نهشته‌های دریاچه خیلی شور Mono کالیفرنیا (Scholl & Taft, 1964) قابل مقایسه هستند.

۵- رخساره‌های زون تدریجی (بخش پایینی سازند آسماری)

نهشته‌های سرآغاز زون تدریجی در کوه آسماری در بردارنده رخساره شیل/مارن، همسان رخساره‌های بخش بالایی سازند پابده، و رخساره انیدریت به شرح زیر است:

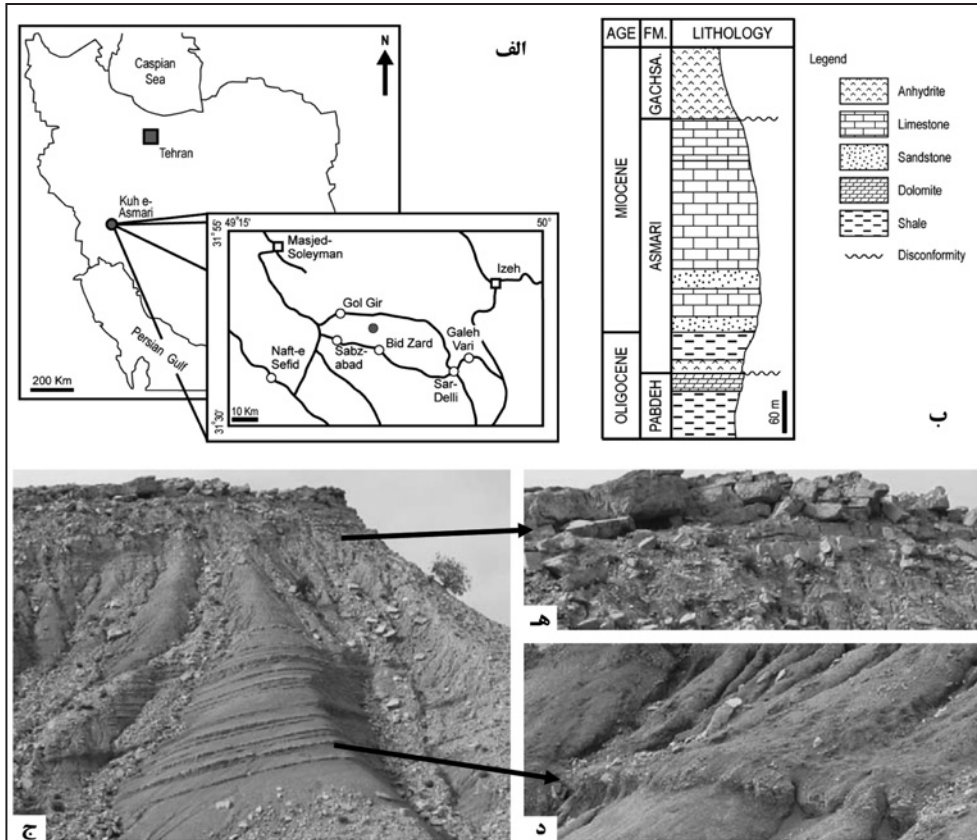
۵-۱. رخساره انیدریت: بر روی افق خاک قرمز قدیمی چرت دار انیدریت پایه به ستبرای ۶ متر دیده می‌شود. این افق زبانه‌ای از عضو کلهر است و نهشته‌های ژرف زون تدریجی سازندهای پابده و آسماری (Adams & Bourgeois, 1967) بر روی آن جای دارد. انیدریت‌ها ستبرایه، دارای بافت رشته‌ای و بلوكی و در برخی از بخش‌ها دارای نشانه‌هایی از رخساره گل‌سنگ و لامینه‌های استروماتولیتی هستند. بر روی افق انیدریت پایه، نهشته‌های وامانده جای دارند (شکل ۴-الف تا ف).

ساخته شدن نهشته‌های تبخیری همسان ناشی از قطعه و وصل شدن ارتباط ناحیه با دریای آزاد است (Hsu et al., 1977) و با ناپیوستگی‌های نوع ۱ (SB1) همراه هستند (Sarg, 2001). هم‌از این نهشته‌ها، در برش‌های کوه میش (۱۰ کیلومتری خاور شهرستان

- زیر حوضه بسته ساخته شده است.
- در این دریاچه رخساره میکروبی توفا/استروماتولیت بخش بالای سازند پابده، در شرایط خنک، و با خشک شدن آن افق ناپیوسته خاک قدیمی (در مرز سازندهای پابده و آسماری) پدید آمداند. پس از آن بالآمدن سطح دریا در مرحله نخست ایندریت پایه و با پیشروی بیشتر سطح دریا و برقراری ارتباط کامل حوضه با دریای باز نهشته‌های ژرف واحد تدریجی ساخته شده است. وجود نهشته‌های تبخیری در این حوضه، گویای شرایط گرم و خشک در زمان ساخته شدن آنها است.
 - با توجه به رخداد بارگذاری راندگی در سرانجام روپلین، تغییرات بارگاه و هوایی بین نهشته‌های پایین و بالای مرز سازندهای پابده و آسماری، سن نهشته‌های مورد بررسی (الیگو-میوسن) و افت بسیار زیاد سطح دریاها در روپلین پسین مرز ناپیوسته سازندهای پابده و آسماری، مرز روپلین-شاتین است.
 - قرارگیری نهشته‌های ایندریت پایه بر روی افق خاک قدیمی قمز رنگ بالای مرز روپلین-شاتین گویای ساخته شدن آنها هنگام پیشروی سطح دریا در شاتین است. بنابراین، بهتر است ایندریت پایه و نهشته‌های زون تدریجی روی آن را جزو سازند آسماری به حساب آورد.
 - در ناحیه مورد بررسی رخداد زمین‌ساختی و تغییرات جهانی سطح نسبی دریاها بر هم منطبق نیستند، تغییرات سطح جهانی دریاها نسبت به زمین‌ساخت منطقه‌ای ناحیه‌ای از اهمیت بیشتری، در پدیدآمدن ناپیوستگی، برخوردار بوده است و رخدادهای زمین‌ساختی را در بر گرفته‌اند.

سپاسگزاری

از داوران مقاله که موردهای مهمی در بهبود مقاله پیشنهاد نمودند، بینهایت سپاسگزاریم.



زبانه‌ای از بخش کلهر در زیر زون تدریجی و زبانه‌ای از آسماری پایینی (الیگوسن) در میان بخش کلهر (برای نمونه آفتاباتی، ۱۳۸۳) سن شاتین را تأیید می‌کند (شکل ۵-ج).

رخداد بارگذاری زمین‌ساختی سرانجام روپلین، به پویایی گسل‌های قدیمی و پدیدآمدن این زیر حوضه منجر شده است (امین‌رسولی و لاسمی، ۱۳۸۷). پویایی یادشده، افزون بر این، به رخدادهای لرزه‌ای و ساخته‌شدن رخساره‌های برشی در برش الگو منجر شده است. الگوی انباشت این نهشته‌ها همسان نهشته‌های مسینین در مدیترانه است (Hsu et al., 1977) که نهشته‌های دریایی باز به طور ناگهانی با نهشته‌های دریاچه‌ای پوشیده شده‌اند (شکل ۶).

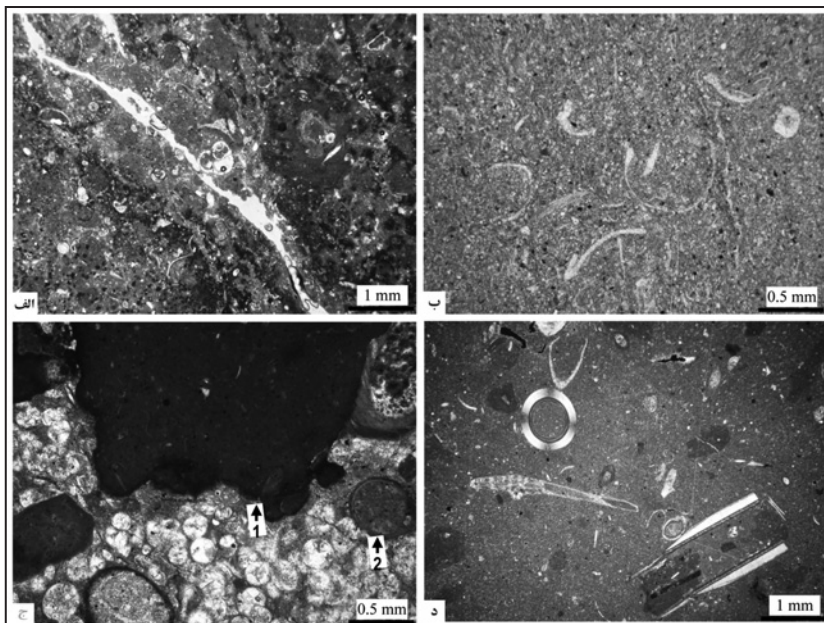
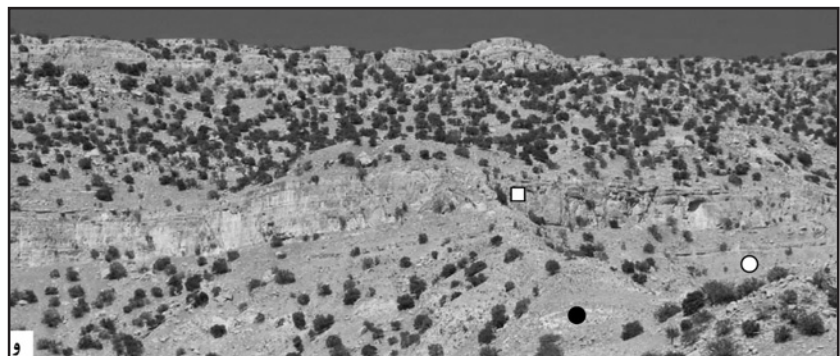
نهشته‌های توافق در شرایط آب و هوایی خنک (Dipova & Doyuran, 2006) و نهشته‌های ایندریت در شرایط گرم و خشک ساخته شده‌اند. بنابراین در مرز سازندهای آسماری و پابده تغییر شرایط آب و هوایی رخ داده است. مرز روپلین-شاتین نیز با گرم شدن تند شرایط آب و هوایی (Van Simaeys et al., 2004) و تغییر از شرایط سردخانه‌ای به گلخانه‌ای (Rodrigues, 2005) مشخص است.

۷- نتیجه‌گیری

- تغییرات باز رخساره‌ها در نزدیک مرز سازندهای آسماری و پابده، در برش کوه آسماری، ناشی از بارگذاری راندگی در سرانجام روپلین و پس از آن تغییرات آب و هوایی و سطح نسبی دریا است.
- بارگذاری راندگی به پدیدآمدن زیر حوضه درون سکویی در کوه آسماری شده است. این زیر-حوضه با سدی از دریایی اصلی جدا بوده است. در هنگام پایین افتادن عمدۀ سطح نسبی دریاها، ارتباط زیر حوضه یادشده با دریا قطع و محیط دریاچه‌ای/

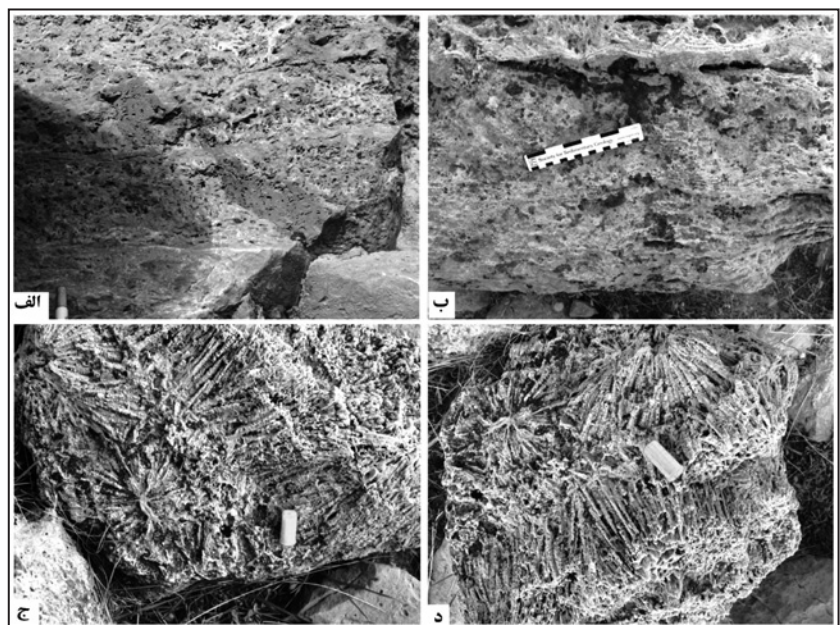
شکل ۱- الف) موقعیت جغرافیایی و راههای دسترسی به ناحیه مورد بررسی (برگرفته از اطلس راههای ایران، ۱۳۸۵). ب) ستون چینه‌نگاری سازند آسماری در کوه آسماری بر اساس این بررسی. ج) نمایی از تناب شیل‌های خاکستری تیره‌رنگ و لایه‌های نازک آهکی سازند پابده. بر روی این تناب سنگ‌های توفا/استروماتولیت (قهوہ‌ای روشن رنگ) به طور ناگهانی جای دارند، دید به سوی جنوب باختزی. د) نمایی نزدیک‌تر از تناب شیل‌های خاکستری تیره رنگ و لایه‌های نازک آهکی سازند پابده. ه) نمایی نزدیک از سنگ‌های توفا/استروماتولیت (قهوہ‌ای روشن رنگ) که با تغییر ناگهانی رنگ مشخص‌اند.

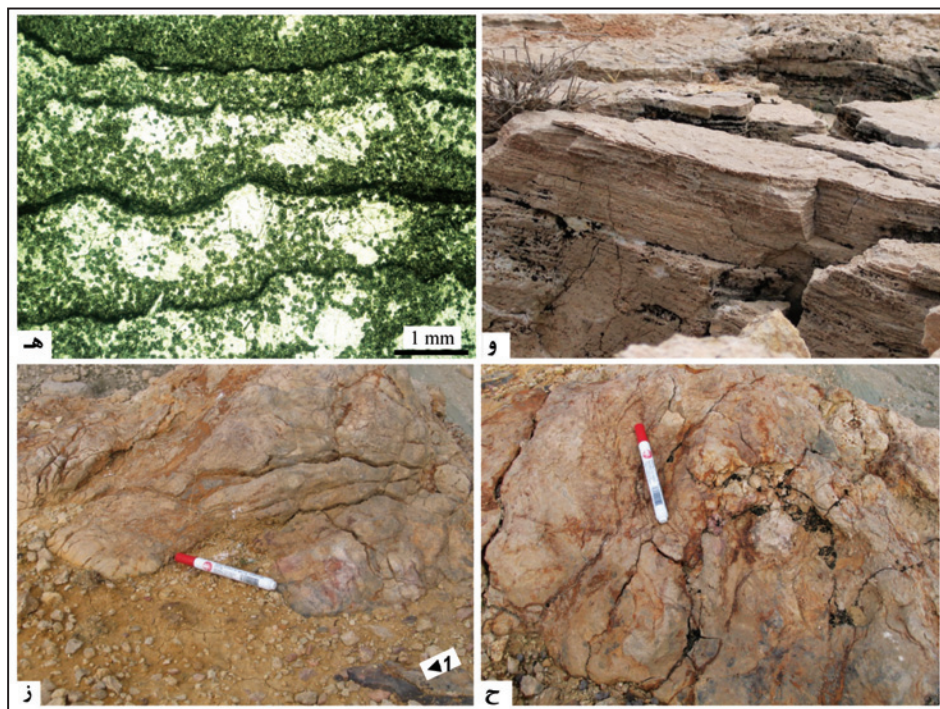
شکل ۱- و) نمای دور از سازند آسماری در برش الگو. در عکس افق ایندریت پایه (دایره توپر سیاه)، واحد تدریجی (دایره سفید) و آهک های سازند آسماری (مربع سفید) دیده می شوند، دید به سوی شمال خاور.



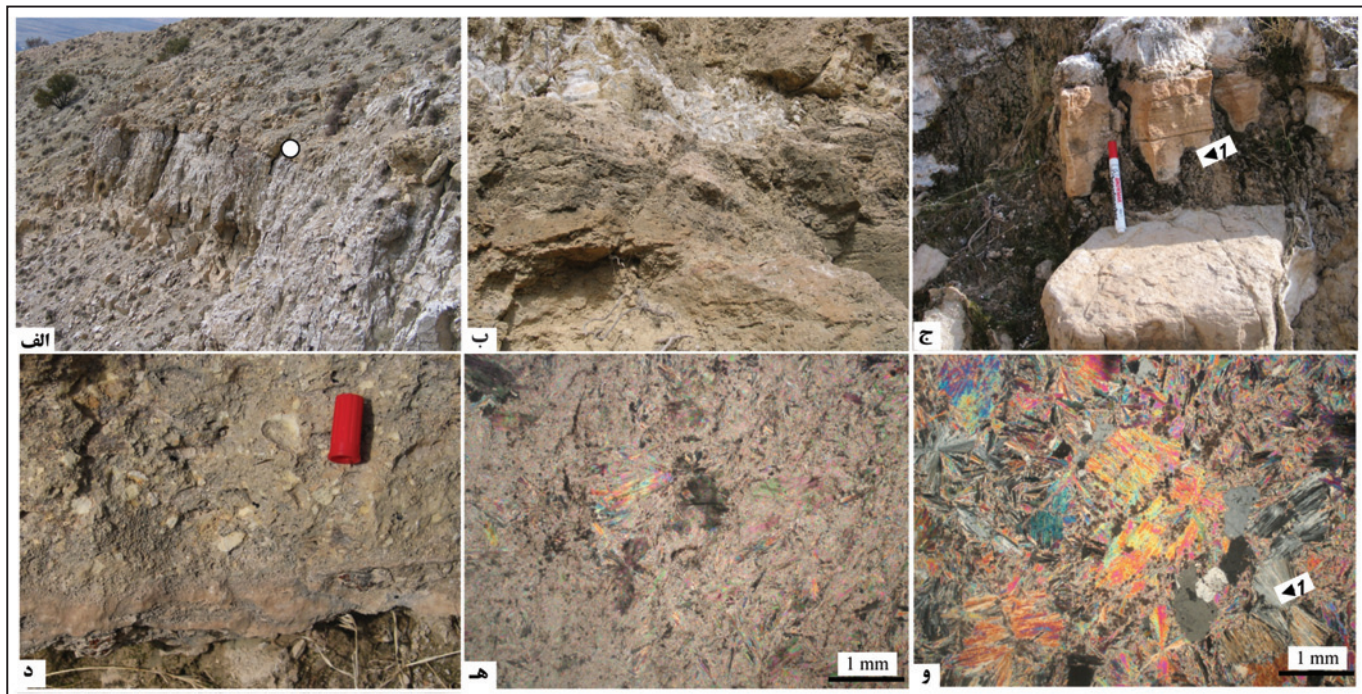
شکل ۲- الف) روزن داران پلانکتونی و پلت های بیضی شکل شناور در زمینه گل سنگ آهکی. این پلت ها مدفععی هستند، نور طبیعی. ب) خرددهای دو کفه ای پلانکتونی در بافت وکستون، نور طبیعی. ج) درون آوارهای سیاه رنگ (۱)، فسیل های پلانکتونی و کف زی فسفاتی شده و خرددهای کوفوس (۲) با بافت پکستون. بین آلوکم هارا گل کربناتی بر کرده است، نور پلاریزه. د) آهک های دوباره نهشته شده با بافت گل سنگ - وکستون. آلوکم ها دیتروپا، اپرکولینا، پلانکتونی و پلت در زمینه گل کربناتی و دارای آشفتگی زیستی جای دارند، نور پلاریزه.

شکل ۳- الف و ب) عکس های صحرابی از رخساره توفا با لامینه های موجی (T) در زیر ایندریت پایه (۱). ج و د) عکس از نمونه دستی نهشته های توفا. آنها از لوله های توخالی ساخته شده اند.

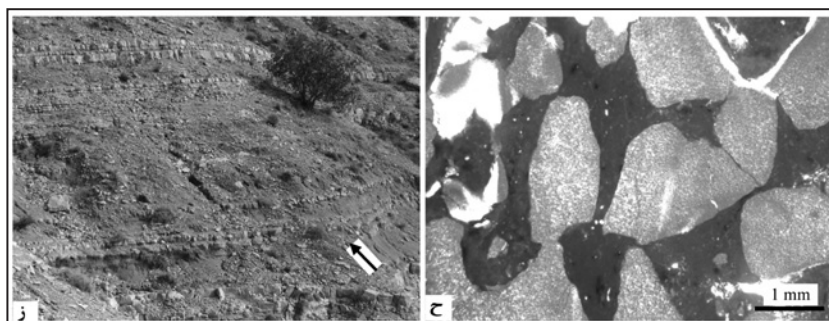




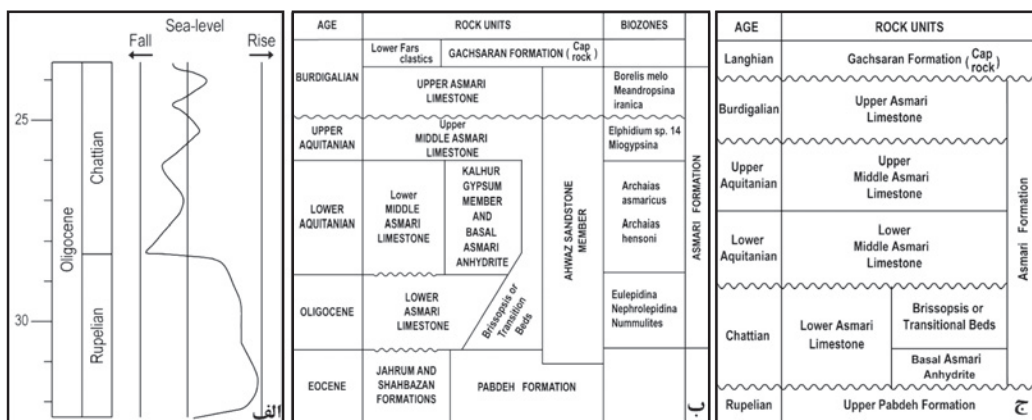
شکل ۳-ه) عکس میکروسکوپی از توفاهای لامینه‌ای. بین لامینه‌ها پلت است و ژیپس جانشین بخش‌هایی از آن شده است، نور طبیعی.
-و) رخساره باندستون استروماتولیتی، لامینه‌ها موجی و در اندازه میلی متر هستند. سیمانی شدن همزمان با رسوب گذاری به پدیدآمدن ساختار
تی‌بی (پیکان) منجر شده است. ز-ح) افق قرمز چرتی (1) در زیر زبانه اندریتی.



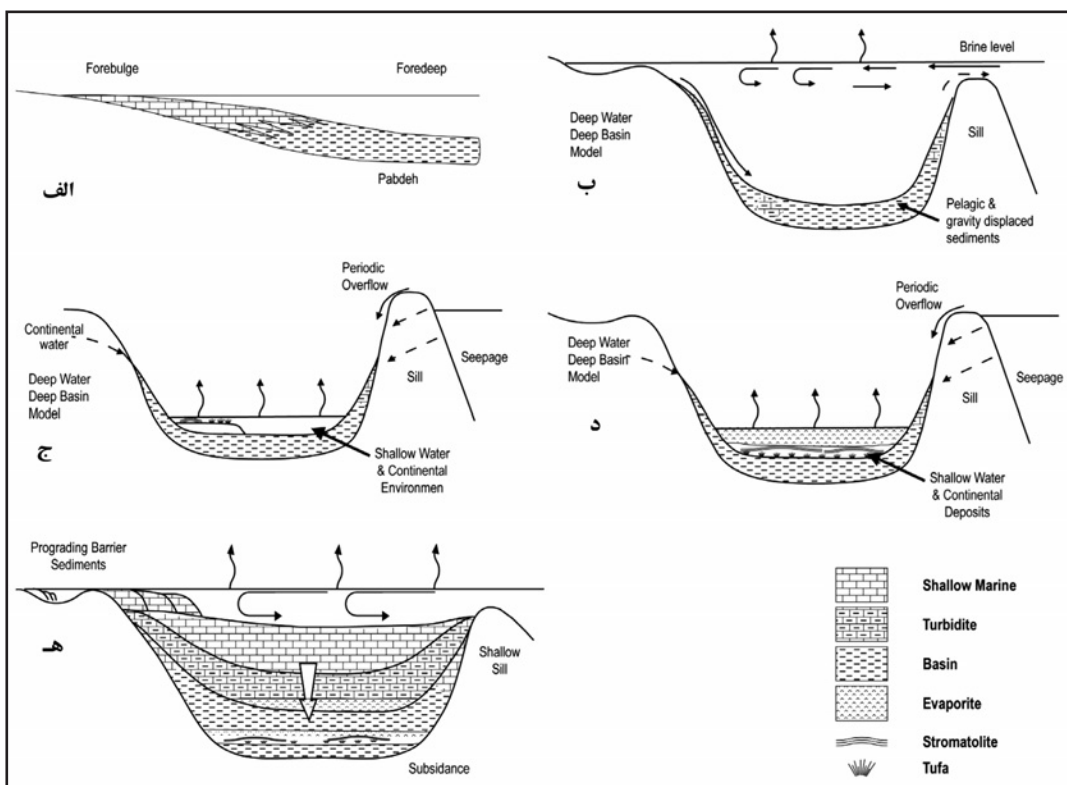
شکل ۴ - (الف) عکس صحرابی از زبانه اندریت پایه در کوه آسماری. در این برش اندریت پایه افق قرمز هوازده را پوشانده (شکل‌های ۳-ز-ح) و با افق نهشته‌های وامانده (دایره) پوشیده شده است. ب-ج) نماهای نزدیک از زبانه اندریت پایه که رخساره میکروپی را پوشانده است. (د) نهشته‌های وامانده بر روی افق اندریت پایه، آنها در هنگام پیشروی بیشتر سطح دریا ساخته شده اند.
ه-و) مقطع‌های میکروسکوپی از اندریت پایه، بخش‌های کوچکی از اندریت‌ها به دلیل آبگیری به ژیپس (1) تغییر یافته است، نور پلازیزه.



شکل ۴-ز) نمای دور از واحد تدریجی بین سازندهای آسماری و پابده، این واحد بر روی افق تبخیری جای دارد (پیکان بالای چینه‌ها را نشان می‌دهد). ح) رخساره پسکتون ایستری؛ زمین‌لرزه به شکسته‌شدن ایسترها انجامیده است. نفوذ گل کربناتی از پایین به بین آنها به جایه‌جایی قطعه‌ها و برشی‌شدن آن منجر شده است، نور طبیعی.



شکل ۵-الف) تغییرات جهانی سطح نسبی دریاها بر پایه کار Golonka & Kiessling (2002) (ب) زون‌بندی زیستی و سن بخش‌های پایینی، میانی و بالایی سازنده آسماری (Adams & Bourgeois, 1967) (ج) اساس این زون‌بندی زیستی سن ایندریت پایه (اکتینین پیشین) از واحد تدریجی (الیگوسن) که در بالای آن جای دارد، جوان‌تر است. (ج) سن ایندریت پابده و مرز سازندهای پابده و آسماری بر اساس این بررسی در برش الگو.



شکل ۶- مدل‌های رسوبی سازنده آسماری در برش الگو، (الف) پیش از بارگذاری راندگی مرز روپلین-شاتین، (ب) پس از بارگذاری و پیدا‌آمدن سد، (ج) پیدا‌آمدن نهشته‌های میکروپی (توفا و استروماتولیت) پس از پایین افتادن سطح دریا از سد، (د) بالا‌آمدن سطح دریا و ورود آب دریا به حوضه ژرف و ساخته‌شدن نهشته‌های تبخیری (پس از تبخیر آب‌ها). (ه) فرسایش سد و پر شدن تدریجی حوضه با نهشته‌های ژرف تا کم‌ژرف (بر پایه مدل Kendall 1992).

كتابنگاری

- آرام، ع.، ۱۳۸۳- سکانس استراتیگرافی سازند آسماری و بررسی محیط رسوبی آن در میدان نفتی رامین. پایان نامه کارشناسی ارشد، دانشگاه تهران، ۱۴۸ صفحه.
- آقاباتی، ع.، ۱۳۸۳- زمین‌شناسی ایران. سازمان زمین‌شناسی و اکتشافات معدنی کشور، ۵۸۶ [۶۱۹] صفحه.
- اطلس راههای ایران، ۱۳۸۵- انتشارات موسسه جغرافیایی و کارتوگرافی گیتاشناسی، ۲۵۶ صفحه.
- امیدپور، آ.، ۱۳۸۳- سکانس استراتیگرافی سازند آسماری و بررسی دیاژنز و محیط رسوبی آن در میدان نفتی کوپال. پایان نامه کارشناسی ارشد، دانشگاه تهران، ۱۷۸ صفحه.
- امین‌رسولی، م.، ۱۳۸۶- چینه‌نگاری سکانسی سازند آسماری و نهشته‌های هم ارز آن (بخش بالایی سازند پابده) در زاگرس چین خورد، جنوب باختر ایران. رساله دکتری، دانشگاه تربیت معلم، ۱۶۰ صفحه.
- امین‌رسولی، م.، لاسمی، ی.، ۱۳۸۷- رخساره‌های مرز روپلین- شاتین در برش کوه آسماری: گواهی بر این که مرز روپلین- شاتین در ایران ناپیوسته است. مجموعه مقالات دوازدهمین همایش انجمن زمین‌شناسی ایران.
- رئیسی، و.، ۱۳۷۷- بررسی رخساره‌ها و محیط رسوبی سازند آسماری (الیگو- میوسن) در فروافتادگی دزفول جنوبی. پایان نامه کارشناسی ارشد، دانشگاه تربیت معلم تهران، ۸۴ صفحه.
- راهدی نژاد، ج.، ۱۳۶۶- مطالعه زمین‌شناسی بخش ماسه‌سنگی اهواز در حاشیه جنوب غربی حوضه رسوبی آسماری. گزارش شماره ۴۰۲۸، مناطق نفت خیز جنوب، ۱۲۵ صفحه.
- لامسی، ی. و امین‌رسولی، م.، ۱۳۸۲- چینه‌نگاری سکانسی سازند قم در بخش مرکزی حوضه ایران مرکزی: ارزش زمان چینه‌شناسی سکانس‌ها در تشخیص سن عضوها. مجموعه مقالات بیست و دومین گردهمایی علوم زمین، سازمان زمین‌شناسی و اکتشافات معدنی کشور، صفحه‌های ۴۷۵-۴۷۶.
- مطیعی، م.، ۱۳۷۲- زمین‌شناسی ایران: چینه‌شناسی زاگرس. طرح تدوین کتاب، سازمان زمین‌شناسی کشور، شماره ۱، ۵۳۶ صفحه.
- نجمی، د.، ۱۳۷۷- میکروباستراتیگرافی سازند پابده در شمال شرق فروافتادگی دزفول و ارتباط چینه‌ای آن با سازندهای تله زنگ، کشکان و شهbazان. پایان نامه کارشناسی ارشد، دانشگاه تربیت معلم تهران، ۹۶ [۱۱۶] صفحه.

References

- Adams, T.D., 1969- The Asmari Formation of Lurestan and Khuzestan Province: Company Report, No. 1154.
- Adams, T.D. & Bourgeois, F., 1967- Asmari Biostratigraphy: Iranian Oil Operation Companies, Geological and Exploration Division, Report No. 1074: 6-11.
- Alavi, M., 2004- Regional stratigraphy of the Zagros fold-thrust belt of Iran and its proforeland evolution: American Journal of Science, 304: 1-20.
- Amirshahkarami, M., Vaziri-Moghaddam, H. & Taheri, A., 2007- Sedimentary facies and sequence stratigraphy of the Asmari Formation at Chaman-Bolbol, Zagros Basin, Iran: Journal of Asian Earth Sciences, 29(5-6): 947-959.
- Askari, Z. & Lasemi, Y., 1997- Highstand shedding of carbonate platform: Evidence from the Middle-Upper Jurassic Chaman-Bid Formation (Lower Zuni Sequences) from the Kopet-Dagh Basin, Northeast Iran: CSPG-SEPM joint convention program and Abstract, Calgary, Canada, 28 p.
- Blomeier, D.P.G. & Reijmer, J.J.G., 2002- Facies architecture of an Early Jurassic carbonate platform slope (Jbel Bou Dahir, High Atlas, Morocco): Journal of Sediment. Res., 72: 462-475.
- Burchette, T.P. & Wright , V.P., 1992- Carbonate ramp depositional systems. Sedimentary Geology, 79: 3-57.
- Conalongo, M.L. & Posini, G., 1997- The Messinian historical stratotype and the Tortonian/Messinian boundary. In: A. Montanari, G.S. Odin & R. Coccioni (eds.), Miocene Stratigraphy- An Integrated Approach: Elsevier, 15: 107-123.
- Dipova, N. & Doyuran, V., 2006- Characterization of the Antalya (Turkey) tufa deposits: Carbonates and Evaporites, 21 (2): 144-160.
- Donaldson, W.S., Plint, A.G. & Longstaffe, F.J., 1999- Tectonic and eustatic control on deposition and preservation of Upper Cretaceous ooidal ironstone and associated facies: Peace River Arch area, NW Alberta, Canada: Sediment., 46: 1159-1182.
- Droste, H., 1990- Depositional cycles and source rock development in an epeiric intra-platform basin: the Hanifa Formation of the Arabian Peninsula: Sediment. Geol., 69: 281-296.
- Dunham, R. J., 1962- Classification of carbonate rocks according to depositional texture. In: W. E. Ham (ed.), Classification of Carbonate Rocks: AAPG Mem., 1: 108-121.
- Emery, D. & Mayers, K., 1996- Sequence stratigraphy: Blackwell, Science, 279 p.
- Flügel, E., 2004- Microfacies of carbonate rocks, analysis, interpretation and application: Berlin, Springer-Verlag, 976p.
- Geel, T., 2000- Recognition of stratigraphic sequences in carbonate platform and slope deposits: empirical models based on microfacies analysis of Paleogene deposits in southeastern Spain: Palaeogeography, Palaeoclimatology, Palaeoecology, 155: 211-238.
- Golonka, J. & Kiessling, W., 2002- Phanerozoic Time scale and definition of Time Slices. In: W. Kiessling, E. Flügel & J. Golonka (eds.), Phanerozoic reef patterns: SEPM Spec. Publ., 72: 11-20.
- Hsu, K.J., Montadert, L., Bernoulli, D., Cita, M.B., Erickson, A., Garrison, R.E., Kidd, R.B., Melieres, F., Miller, C. & Wright, R., 1977- History of the Mediterranean salinity crisis: Nature, 267: 399-403.
- James, G.A. & Wynd, J.G., 1965- Stratigraphic nomenclature of Iranian Oil Consortium Agreement Area: AAPG Bull., 49: 2182-2245.

- Jones, R.W., Racey, A., 1994- Cenozoic stratigraphy of the Arabian Peninsula and Gulf. In: Simmons, M.D. (ed.), *Micropalaeontology and Hydrocarbon Exploration in the Middle East*: Chapman and Hall, London, pp. 273–307.
- Kendall, A.C., 1992- Evaporites. In: R.G. Walker & N.P. James (eds.), *Facies models: Response to sea level*: St. John's, Newfoundland, Geol. Assoc. of Canada, 259–296 pp.
- Lasemi, Z., Norby, R.D., Utgaard, J.E., Ferry, W.R., Cuffey, R.J. & Dever, Jr., G.R., 2003- Mississippian carbonate buildups and cool-water-like carbonate platforms in the Illinois Basin, Midcontinent U.S.A. In: W.M. Ahr, P.M. Harris, W.A. Morgan & I.D. Somerville (eds.), *Permo-Carboniferous Carbonate Platforms and Reefs*: SEPM Spec. Publ., 78 and AAPG Mem., 83: 69–95.
- Lees, G.M., 1933- Reservoir rocks of Persian oil fields: AAPG Bull., 17: 229–240.
- Middleton, G.V., 1973- Johannes Walther's law of the correlation of facies: GSA Bull., 84: 979–988.
- Murris, R.J., 1981- Middle East: Stratigraphic evolution and oil habitat: AAPG Bull., 64: 597–618.
- Nolan, S.C., Skelton, P.W., Clissold, B.P. & Smewing, J.D., 1990- Maastrichtian to early Tertiary stratigraphy and palaeogeography of the Central and Northern Oman Mountains: Geological Society of London, Special Publication, 49:495–519.
- Read, F., 1985- Carbonate platform facies models: AAPG Bull., 69 (1):1-21.
- Richardson, R.K., 1924- The geology and oil measures of southwest Persia: Journal Inst. Petr. Tech., 10 (43): 256–283.
- Rodrigues, R., 2005- Chemostratigraphy. In: E.A.M. Koutsoukos (ed.), *Applied Stratigraphy*: Springer, chapter 8: 165–178.
- Rouchy, J.M. & Saint-Martin, J.P., 1992- Late Miocene events in the Mediterranean as recorded by carbonate-evaporite relations: Geology, 20: 629–632.
- Sarg., J.F., 2001- The sequence stratigraphy, sedimentology, and economic importance of evaporate-carbonate transitions: a review: Sediment. Geol., 140: 9–42.
- Scholl, D.W. & Taft, W.H., 1964- Algal contributors to the formation of calcareous tufa, Mono Lake. California: J. Sediment. Pet., 34: 309–319.
- Seyrafian, A., 2000- Microfacies and depositional environment of the Asmari Formation at Deh-Dez area (A correlation across Central Zagros Basin): Carb. & Evap., 5: 121–129.
- Stoneley, R., 1975- Asmari and younger Formations. Inter office memo. O.S. Co. (unpubl.).
- Thomas, A.N., 1950- Facies variations in the Asmari Limestone: International Geological Congress, London, 74–82 p.
- Titschack, J., Bromley, R.C. & Freiwald, A., 2005- Plio-Pleistocene cliff-bound, wedge-shaped, warm-temperate carbonate deposits from Rhodes (Greece), Sedimentology and facies: Sediment. Geol., 180: 29–56.
- Tucker, M.E., 1993- Carbonate diagenesis and sequence stratigraphy: *Sedimentology Review*, 1: 51–72.
- Tucker, M.E. & Wright, V.P., 1990- *Carbonate Sedimentology*: Blackwell, Oxford, 482P.
- Van Simaeys, S., De Man, E., Vandenberghe, N., Brinkhuis, H. & Steurbaut, E., 2004- Stratigraphic and palaeoenvironmental analysis of the Rupelian–Chattian transition in the type region: evidence from dinoflagellate cysts, foraminifera and calcareous nanofossils: Palaeogeography, Palaeoclimatology, Palaeoecology, 208: 31–58.
- Vaziri-Moghaddam, H., Kimiagari, M. & Taheri, A., 2005- Depositional environment and sequence stratigraphy of the Oligo-Miocene Asmari Formation in SW Iran: Facies, 52 (1): 41–51.
- Wynd, J.G., 1965- Biofacies of the Iranian oil consortium agreement area: IOOC report no. 1082 (unpublished), 89 p.

the lithologic units, alteration, geophysical and geochemical results, tectonics, and copper mineralization. As a accurate decision can have a considerable effect on exploration plans, so in this research efforts have been made to make use of new combination methods including index overlay method, fuzzy logic method, and the analytical hierarchy process. These three methods support and complement each other and have revealed highly potential copper and gold mineralization areas. Among these methods, Analytical hierarchy process is the best method for combining the exploration data in this area. The investigations (for instance field evidences of outcrops, mineralization and also sampling of 7 trenches) carried out in the study area confirm this matter. Based on achieved results, geological perspective in central of studied area is appropriate for continuing mining exploration, especially for subsurface exploration in future.

Key words: Porphyry, Dali, Index overlay Method, Fuzzy logic method, Analytical hierarchy process.

For Persian Version see pages 49 to 58

*Corresponding author: S. Yousefifar; E-mail: s.yousefifar@srbiau.ac.ir

The Pabdeh-Asmari Boundary Facies in Kuh e-Asmari Section :Evidence for Unconformable Ruplian-Chattian Boundary in Iran

H. Amin-Rasouli ^{1*}, Y. Lasemi ², M. Ghomashi ³, S. Zaheri ⁴

¹Dept. of Geosciences, University of Kurdistan, Sanandaj, Iran

² Illinois State Geological Survey, Champaign, Illinois, USA

³Department of Geology, Sistan and Baluchestan University, Zahedan, Iran

⁴Administrator Education of Sanandaj, Sanandaj, Iran

Received: 2009 June 17 Accepted: 2010 September 28

Abstract

The uppermost layers of the Pabdeh Formation in Kuh e-Asmari section consist of microbial (tufa and stromatolite) facies interpreted to have been deposited in a lacustrine environment. These deposits are unconformably overlain by basal anhydrite and transitional zone of the Asmari and Pabdeh Formations. The transitional zone is correlated with the lower Asmari (with a basal unconformity or correlative conformity) in the Gachsaran No. 31 and Aghajari No. 61 wells and in Kuh e-Mish, Shahzadeh Abdullah, Tang-Sorgh and Rag-Sefid surface sections. Therefore the basal anhydrite and transitional zone should be considered as a part of the Asmari Formation. The drastic facies change near the Pabdeh and Asmari contact is due to thrust-loading, relative sea-level changes and climatic variations close to Ruplian-Chattian boundary.

Keywords: Pabdeh Formation, Asmari Formation, Kuh e-Asmari, Ruplian, Chattian

For Persian Version see pages 59 to 66

*Corresponding author: H. Aminrasouli; E-mail:h.aminrasouli@uok.ac.ir

Study of Mineralogy and Geochemistry of Manganese Ore and Host Rocks of the Robat Karim Manganese Deposit, Southwest Tehran

S. J. Moghaddasi^{1*} & Y. Negahban¹

¹Department of Geology, Payame Noor University, Tehran, Iran.

Received: 2010 January 16 Accepted: 2010 October 05

Abstract

Robat Karim manganese deposit is located in 7 km northwest of Robat Karim (southwest of Tehran), within northeastern margin of Orumiye-Dokhtar volcanic belt. Based on regional geology, the studied area is situated in the northern Saveh Eocene volcanic assemblage, composed of rhyolite, trachyte, andesite and basalt. Manganese mineralization is occurred as veins, in faults, joints and fractures that crosscut the volcanic rocks. According to mineralogical studies, the manganese ore of the studied area is composed of pyrolusite, psilomelane, ramsdelite and